



رفتار چرخه‌ای اتصال تیر به ستون با میراگر میله‌های فولادی تسليیم شونده در برش

رضاء مولوی^۱، محسن ایزدی نیا^{۲*}، علیرضا شهیدی^۳

۱- دانشجوی دکتری، گروه مهندسی عمران، واحد نجف آباد، دانشگاه آزاد اسلامی، نجف آباد

۲- استادیار، گروه مهندسی عمران، واحد نجف آباد، دانشگاه آزاد اسلامی، نجف آباد

۳- استادیار، گروه مهندسی مکانیک، دانشگاه صنعتی اصفهان، اصفهان

*نجف آباد، صندوق پستی ۸۵۱۴۱۴۳۱۳۱ izadinia@iaun.ac.ir

(تاریخ دریافت: ۱۳۹۷/۰۳/۳۰، تاریخ پذیرش: ۱۳۹۷/۱۱/۱۶)

چکیده

این مقاله رفتار لرزه‌ای نوع جدیدی از اتصال تیر به ستون دارای میراگرهای تسليیمی با الگوی قرارگیری دایره‌ای را مورد بررسی قرار می‌دهد. هدف اصلی سیستم پیشنهادی استفاده از میراگرهای تسليیمی در فضایی به اندازه ارتفاع خود تیر به جهت اشغال فضای بسیار کمتر و عدم کاهش ارتفاع مفید طبقه، در اتصال تیر به ستون می‌باشد به گونه‌ای که تغییرشکل‌های غیرارتجاعی ناشی از بارگذاری چرخه‌ای در میراگرهای بکار رفته محدود شود. در این پژوهش سه نمونه آزمایشگاهی ساخته شد و تحت بارگذاری چرخه‌ای تا دوران ۵ درصد قرار گرفتند. به منظور ارزیابی تحلیل‌ها و تکنیک‌های مدل سازی عددی در پیش‌بینی رفتار چرخه‌ای اتصالات پیشنهادی مدل‌های اجزاء محدود نمونه‌های آزمایشگاهی ساخته شد و متناظر با الگوی بارگذاری استفاده شده در آزمایشگاه مورد تحلیل قرار گرفتند. مطابق نتایج تحلیل‌های عددی و آزمایشگاهی در تمام اتصالات پیشنهادی تغییرشکل‌های غیرارتجاعی در میراگرها متumerکز بوده و اعضای اصلی نظری تیر و ستون در محدوده ارجاعی باقی ماندند، همچنین با طرح مناسب برای میراگر در اتصال پیشنهادی دستیابی به مقاومتی فراتر از لنگر پلاستیک تیر برای اتصال امکان پذیر می‌باشد.

واژگان کلیدی

اتصال تیر به ستون، میله فولادی تسليیم شونده، رفتار چرخه‌ای

Cyclic Behavior of Beam-to-Column Connection with Yielding Steel Rods Damper in shear

R. Molavi, M. Izadinia, A. Shahidi

Abstract

The present study tries to examine the seismic behavior of a new type of beam-column connection having yielding damper with circular placement pattern. The main purpose of the proposed system is to use yielding dampers in a space as high as the beam depth in order to occupy much lesser space, and not to reduce the useful height of the story in the beam-column connection, so that the inelastic deformations from cyclic loading is restricted to the dampers. Three samples were made in the laboratory and were loaded up to 0.05 radian rotation under the cyclic loading. In order to evaluate the numerical modeling techniques and analyses in predicting the cyclic behavior of the proposed connections, finite element models of laboratory samples were made and were analyzed based on corresponding loading pattern. Based on the numerical and experimental results, inelastic deformations were concentrated in the dampers for all proposed connections and the beam and the column remained within the elastic range. It is also possible to achieve a higher resistance than of the plastic moment of the beam in the proposed connection with a suitable design.

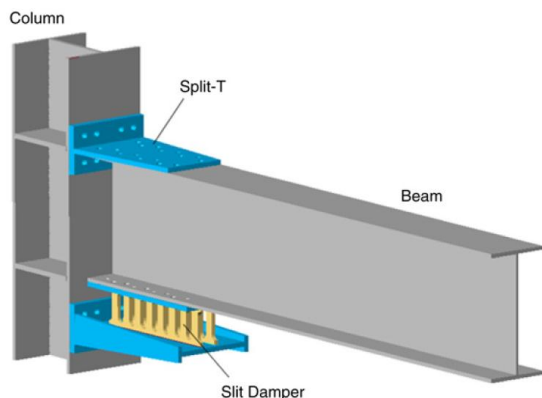
Keywords

Beam-to-column connection, Yielding steel rod damper, Cyclic behavior

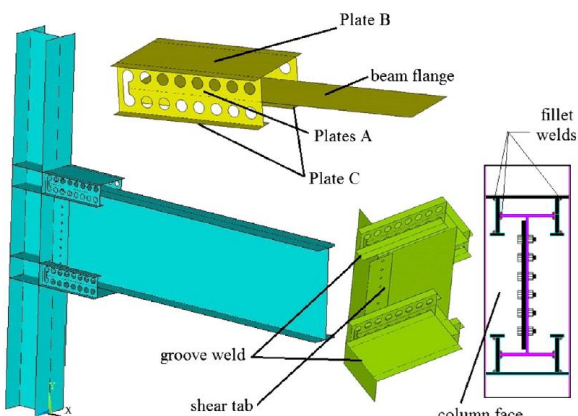
۱- مقدمه

اعضای سازه ای کاهش یافته و در نتیجه تغییر شکل زیادی در آنها ایجاد نمی شود.

با توجه به ظرفیت جذب بالای انرژی در این نوع میراگرها استفاده از آنها روز به روز در حال گسترش می باشد. بکارگیری این نوع میراگرها در گره اتصال اولین بار توسط Oh و همکارانش با ساختاری مطابق شکل [۱] ارایه گردید. در تحقیق ایشان سه نمونه تمام مقیاس هر کدام دارای دو میراگر شکافدار همراه با یک نمونه اتصال جوشی قبل از نورثربیج مورد آزمایش و مقایسه قرار گرفتند [۱۲]. در ادامه Saffari و همکارانش اتصال تیر به ستون همراه با میراگرها شکافدار جوشی با ساختاری مطابق شکل [۲] را معرفی و رفتار چرخه ای آن را با مطالعه پارامتریک و تحلیل اجزاء محدود مورد بررسی قرار دادند [۱۴].



شکل ۱- اتصال پیشنهادی Oh و همکارانش [۱۳]



شکل ۲- اتصال پیشنهادی Saffari و همکارانش [۱۴]

Koken و همکارانش بر پایه اتصال پیشنهادی Oh، اتصال تیر به ستون فولادی مجهر به یک میراگر شکافدار را مورد بررسی آزمایشگاهی و اجزاء محدود قرار دادند [۱۵].

در طول زلزله نورثربیج (۱۹۹۴) و کوبه (۱۹۹۵) تعداد زیادی از ساختمان های فولادی با اتصالات رایج آن زمان متholm خرابی شدند، بررسی سازه های آسیب دیده بهوضوح عملکرد ضعیف این سازه ها را از نظر شکل پذیری و اتلاف انرژی نشان داد و موارد مختلفی از شکست ترد در اتصال خمشی تیر به ستون به علت ظرفیت کم چرخش پلاستیک تیر مشاهده شد. به دنبال این خرابی ها و آسیب های گسترده تحقیق در خصوص ارایه راهکارها جهت افزایش شکل پذیری اتصالات خمشی مورد توجه قرار گرفت. رویکرد غالب این روش ها، طراحی اتصال به گونه ای است که خرابی با پلاستیک شدن تیر در فاصله ای مناسب از بر ستون و یا در عناصر اضافی شکل پذیر نظیر میراگرها صورت گیرد به طوریکه ضمن ایجاد دوران کافی، سختی و مقاومت اتصال را نیز در محدوده مناسبی حفظ نماید.

راهکارهایی که طی مطالعات گذشته ایجاد مفصل پلاستیک را در تیر موجب می شود بر پایه کاهش تعمدی مقطع تیر^۱ به صورت موضعی در فاصله اندکی از اتصال آن به ستون می باشد که عمدتاً از طریق برش یک بخش از بال تیر [۱]، برش در جان تیر [۲]، برش بخشی از بال تیر به همراه جدا کردن جان از بال در آن بخش [۳]، ایجاد سوراخ در بال های تیر [۴]، ایجاد سوراخ در بال و جدا کردن بال تیر از جان [۵]، جایگزین کردن جان صاف تیر در ناحیه ای نزدیک ستون با جان چین دار [۶]، با جان دایره ای [۷]، کاهش تنش تسیلم فولاد تیر به صورت موضعی در نزدیکی اتصال آن به ستون توسط حرارت [۸]، صورت می گیرد.

روش دیگر در راستای ایجاد مفصل پلاستیک در تیر، تقویت اتصال با افزایش موضعی بال تیر [۹]، مسلح کردن گره اتصال توسط افزودن اجزایی نظیر انواع سخت کننده ها [۱۰-۱۲]، با هدف ایجاد اتصالی قوی تر از تیر می باشد.

اصولاً استفاده از روش ها و ایده هایی که مبنی بر تقویت ناحیه اتصال یا ضعیف کردن تیر نسبت به ستون می باشند اگرچه عملکرد مناسبی در کنترل خرابی و پایداری نسبی سازه دارند ولیکن خسارات وارد شده در هنگام زلزله معطوف به تیر به عنوان عضو اصلی سازه می باشد.

یکی از ایده هایی که جهت کاهش آسیب و تغییر شکل در اعضای سازه ای در برابر بارگذاری زلزله پیشنهاد شده، استفاده از میراگرها تسیلمی در گره اتصال می باشد به گونه ای که با جذب انرژی در این وسایل، انرژی دریافتی در سایر

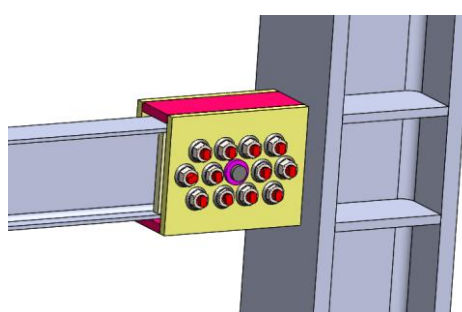
در خصوص استفاده از میراگر تسليمي در گره اتصال صورت گرفته است که رویکرد غالب اين تحقیقات استفاده از فضای تحتانی مقطع تير جهت نصب میراگر تسليمي در اتصال تير به ستون می باشد. در این مقاله هدف استفاده از طرح دیگري از نحوه قرار گيري میراگرهای تسليمي در اتصال تير به ستون می باشد تا با اجرای آن در فضایي به اندازه ارتفاع خود تير به جهت اشغال فضای بسيار كمتر و عدم کاهش ارتفاع مفيد طبقه، كاريبي لازم را جهت تامين شكل پذيری و مقاومت لازم داشته باشد.

بر پايه اين اиде دو طرح اتصال تير به ستون پيشنهاد شد و به منظور بررسی رفتار چرخهای اتصالات مذکور سه نمونه طراحی و تحت بارگذاری چرخهای در آزمایشگاه قرار گرفتند. علاوه بر مطالعات آزمایشگاهی رفتار چرخهای اين اتصالات به صورت تحليل عددی توسط نرم افزار Abaqus بررسی گردید.

۲- معرفی اتصالات تير به ستون پيشنهادی

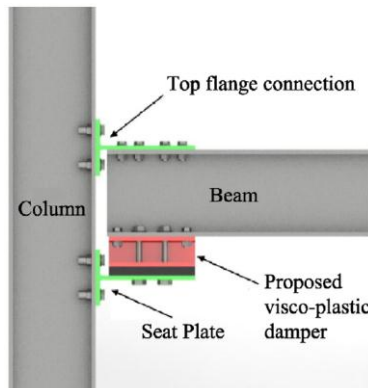
شكل (۵) و (۶) به ترتيب، تصویری سه بعدی از طرح کلی و جزئیات مدل پيشنهادي اول، با کد (CPYD1) و شکل (۷) و (۸) نيز به ترتيب، تصویری سه بعدی از طرح کلی و جزئیات مدل پيشنهادي دوم، با کد (CPYD2) را نشان مي دهند. در مدل های (CPYD1) و (CPYD2) به ترتيب از ۲۴ و ۱۲ میراگر قابل تعويض مطابق شکل (۹) استفاده مي گردد که بخشی از آن به جهت ضعيف سازی مقطع و تأمين پتانسیل تغيير شکل غير ارجاعی داراي قطر کوچکتری نسبت به ساير بخش ها می باشد. اين میراگرها به صورت متقان مرکزي نسبت به شفت اتصال در دو طرف تير توزيع شده اند.

شكل (۱۰) موقعیت قرار گيري بخش های مختلف میراگر را در اتصال پيشنهادي نشان مي دهد.



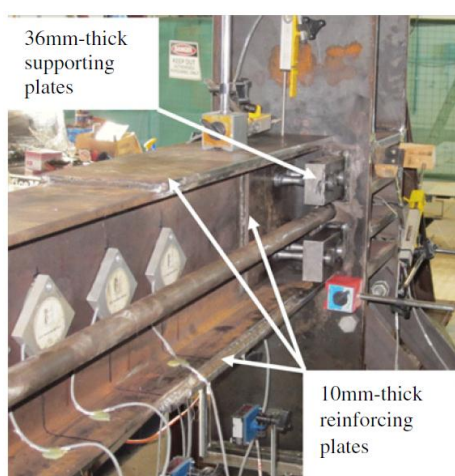
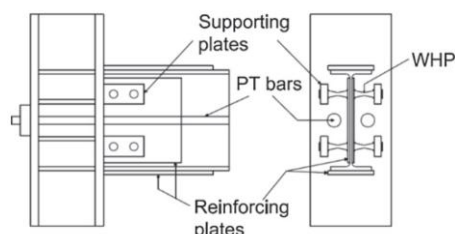
شكل ۵- اتصال پيشنهادي (CPYD1)

Banisheikholeslami و همكارانش جهت کنترل خساره زلزله ترکيبي از میراگر الاستيک و تسليمي را در اتصال تير به ستون مطابق مطابق شکل (۳) پيشنهاد دادند [۱۶].



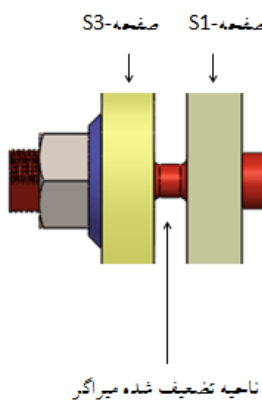
شكل ۳- اتصال پيشنهادي Banisheikholeslami و همكارانش [۱۶]

Vasdravellis و همكارانش رفتار چرخهای اتصال پيش تئيده تير به ستون فولادی، مجهز به میراگرهای تسليمي جانمائي شده در جان تير، با جزئيات شکل (۴) را به صورت آزمایشگاهی و مدل سازي عددی مورد بررسی قرار دادند [۱۷].



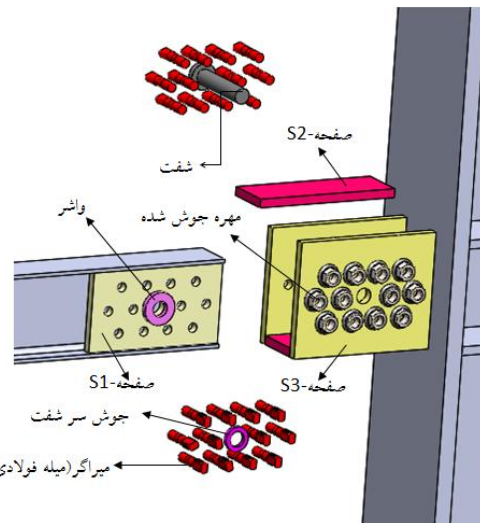
شكل ۴- اتصال پيشنهادي Vasdravellis و همكارانش [۱۷]

همانطورکه اشاره شد در يك دهه اخیر تحقیقات زيادي

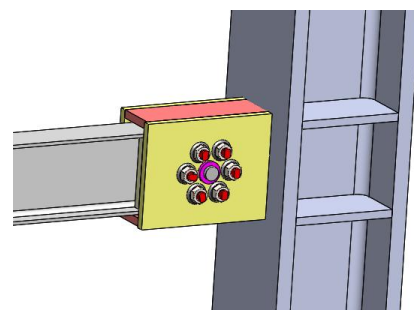


شکل ۱۰- میراگر مورد استفاده در اتصالات پیشنهادی

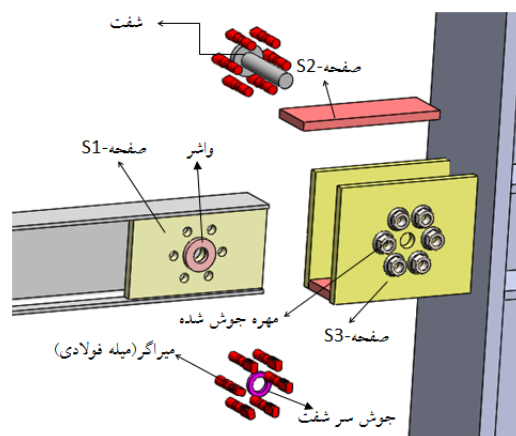
با توجه به شکل (۹)، میراگر فقط در ناحیه اتصال به مهره روزه می‌باشد و در نواحی قرارگیری در سوراخ‌های صفحات (S1) و (S3) به صورت آزاد و بدون رزوه می‌باشد، استفاده از چنین طرحی عملیات تعویض میراگر را پس از زلزله سهل و به آن سرعت می‌بخشد. همچنین ساختار دو وجه ناحیه رزوه شده میراگر به صورت تخت طراحی شده تا امکان درگیر شدن آچار جهت بستن میراگرها داخل مهره و عندالزوم باز کردن آنها از داخل مهره توسط آچار امکان‌پذیر باشد (شکل (۱۱)).



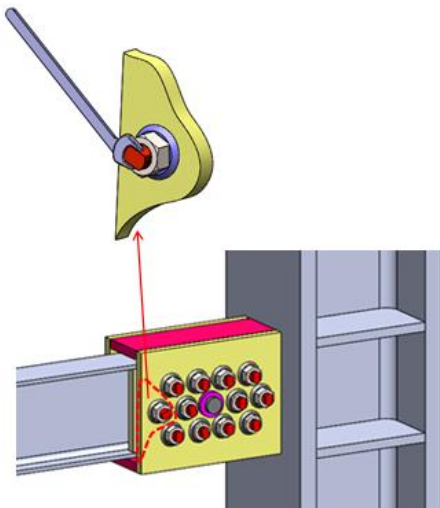
شکل ۶- جزئیات اتصال پیشنهادی (CPYD1)



شکل ۷- اتصال پیشنهادی (CPYD2)



شکل ۸- جزئیات اتصال پیشنهادی (CPYD2)

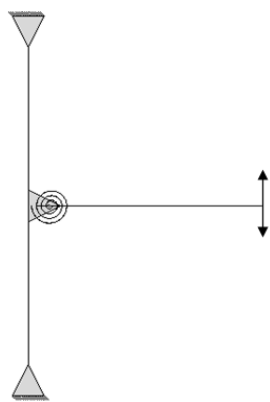


شکل ۱۱- محل قرار گیری آچار جهت باز و بستن میراگر

با توجه به اینکه ساختار کلی اتصالات پیشنهادی (CPYD1) و (CPYD2) کاملاً یکسان می‌باشند لذا در ادامه جهت شرح مبسوط جزئیات، عموماً از تصاویر مدل (CPYD1) استفاده می‌شود.



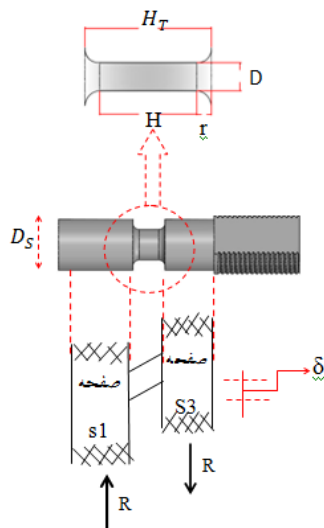
شکل ۹- میراگر مورد استفاده در اتصالات پیشنهادی



شکل ۱۴- مکانیسم کلی اتصالات پیشنهاد شده

۳- طراحی اتصالات تیر به ستون پیشنهادی

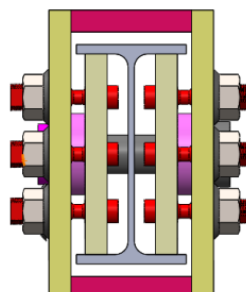
شکل (۱۵) هندسه میراگر و تغییرشکل فرضی آن را نشان می‌دهد، با توجه به این شکل در صورتی که جابجایی اعمال شده به میراگر (۸)، به واسطه بارگذاری و دوران تیر حول شفت، به میزان مناسبی بزرگ باشد لنگر خمشی در دو انتهای ناحیه تضعیف شده موجب تسلیم کلیه تارها در مقطع عرضی آن بخشنده شود.



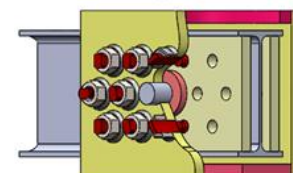
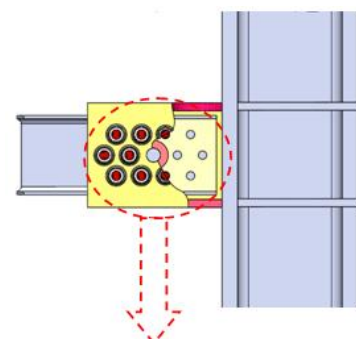
شکل ۱۵- هندسه میراگر و تغییرشکل فرضی آن

به منظور ارزیابی نیروی تسلیم و نهایی میراگر به جهت اینکه برای جلوگیری از تمرکز تنش در دو انتهای قسمت تضعیف شده میراگر، این نواحی به صورت غیرمنشوری و با تغییرات منحنی شکل ساخته می‌شود، با توجه به شکل (۱۶) قسمت منحنی شکل با یک قسمت خطی معادل‌سازی می‌شود. براساس

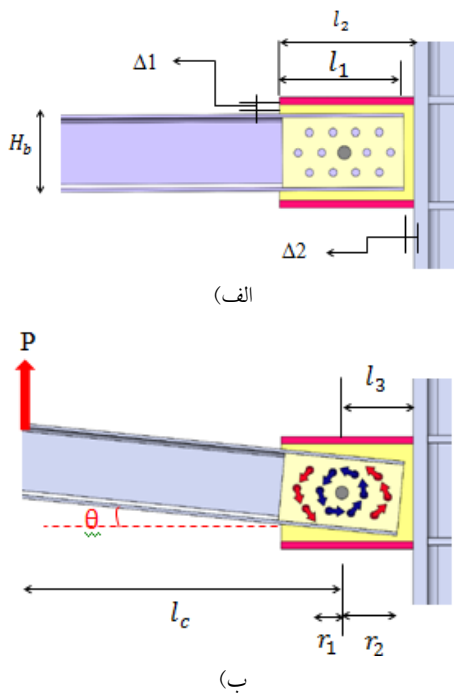
نظر به اینکه در هر دو مدل پیشنهادی هدف تمرکز تغییر شکل‌های غیرارتجماعی در میراگرها، طی دوران تیر حول شفت می‌باشد، لذا مطابق شکل (۱۲) و (۱۳) ضمن استفاده از واشر به جهت جلوگیری از جابجایی جانبی تیر روی شفت، یک فاصله آزاد بین بالهای تیر و صفحات (S2) و همچنین بین مقطع عرضی تیر و سطح ستون، به منظور ایجاد فضای کافی برای دوران آزاد و بدون مانع تیر حول شفت تا دوران ۰/۰۶ محاسبه و در نظر گرفته شده، تا عضو مقاوم در برابر دوران تیر محدود به میراگرها باشد و با اعمال بار چرخهای به انتهای آزاد تیر و دوران آن حول شفت، میراگرهای تسلیمی متصل به صفحات (S1) تحت لنگر قرار گرفته و متناسب با میزان تغییر شکل، جذب انرژی در ناحیه تضعیف شده میراگر صورت خواهد گرفت و نیروی میراگر توسط صفحات (S2) و (S3) به ستون منتقل می‌شود، این مکانیسم کلی برای اتصالات پیشنهادی مطابق شکل (۱۴) می‌باشد.



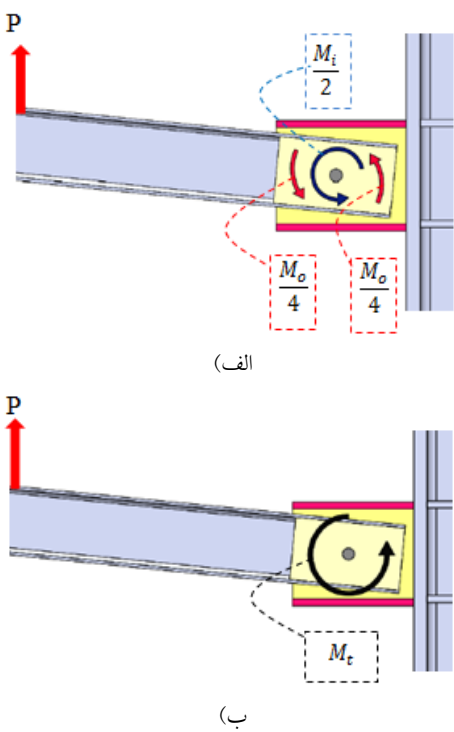
شکل ۱۲- مقطع عرضی اتصال



شکل ۱۳- مقطع برش خورده اتصال (CPYD1)



شکل ۱۷- (الف) فضای آزاد پیرامون تیر در گره اتصال (ب) بردار نیرو در گره اتصال



شکل ۱۸- (الف) برایند لنگر انتقالی از میراگرها در یک سمت تیر (ب) لنگر کل در گره اتصال به طور خلاصه

■ در اتصال (CPYD1) با توجه به تفاوت فاصله میراگرها از شفت و در نتیجه متغیر بودن کرنش های ایجاد شده در

روابط ارایه شده توسط Oh , طول معادل سازی شده ناحیه شکل پذیر میراگر (H') از رابطه (۱) بدست می آید:

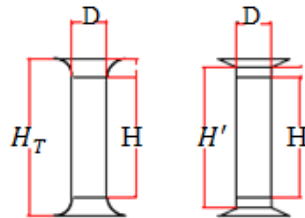
$$H' = H + 2 \frac{r^2}{H_T} \quad (1)$$

براین اساس در صورتی که تشن تسليم و نهایی فولاد میراگر به ترتیب f_y و f_u باشد، نیروی لازم جهت تسليم میراگر (R_y) را می توان توسط رابطه (۲) محاسبه کرد:

$$R_y = \frac{D^3 f_y}{3 H'} \quad (2)$$

و به طور مشابه نیروی نهایی (R_u) قابل تحمل توسط میراگر از رابطه زیر قابل محاسبه می باشد:

$$R_u = \frac{D^3 f_u}{3 H'} \quad (3)$$



شکل ۱۶- ایدهآل سازی هندسه میراگر

با توجه به شکل (۱۷) و جزئیات ارایه شده در قسمت های قبل، فواصل $\Delta 1$ و $\Delta 2$ جهت تامین فضای کافی جهت چرخش آزاد تیر حول شفت تا دوران 60° ، براساس روابط زیر تعیین می گردد:

$$\Delta 1 = 0.03 l_1 \quad (4)$$

$$\Delta 2 = 0.03 H_b \quad (5)$$

با توجه شکل (۱۸)، اگر M_i و M_o به ترتیب برایند لنگرهای انتقالی از میراگرهایی باشد که در شعاع r_1 و r_2 نسبت به شفت در گره اتصال توزیع شده باشند، با توجه به جانمایی متقارن میراگرها در طرفین تیر، برایند کل لنگر در گره اتصال از رابطه زیر حاصل می شود:

$$M_t = M_i + M_o \quad (6)$$

در صورتیکه نیروی وارد به ابتدای تیر، P و فاصله محل اعمال آن تا مرکز شفت l_c باشد:

$$P \cdot l_c = M_t \rightarrow P = \frac{M_t}{l_c} \quad (7)$$

و لنگر در بر ستون (M_c) از رابطه زیر حاصل می شود:

$$M_c = P \cdot (l_3 + l_c) \quad (8)$$

نیمرخ IPE200 ساخته شدند و ستون به ارتفاع ۳ m به صورت تیرورق I شکل با ضخامت ۲۰ mm برای بال و جان و ورقهای سخت کننده در نظر گرفته شد. تمام میراگرهای و همچنین شفت و واشرها (شکل ۲۰) با دستگاه CNC سه بعدی تولید شدند به گونه‌ای که لقی میراگر و شفت نسبت به سوراخ‌های محل قرارگیری به ترتیب، 0.2 mm و 1 mm در نظر گرفته شد.



شکل ۲۰- قطعات شفت و واشر

پس از آماده‌سازی قطعات مشکله اتصال، ابتدا محل عبور شفت در جان تیر سوراخ می‌شود سپس واشرها به صفحات (S1) متصل و قطعه حاصل به طرفین تیر جوش می‌گردد (شکل ۲۱).



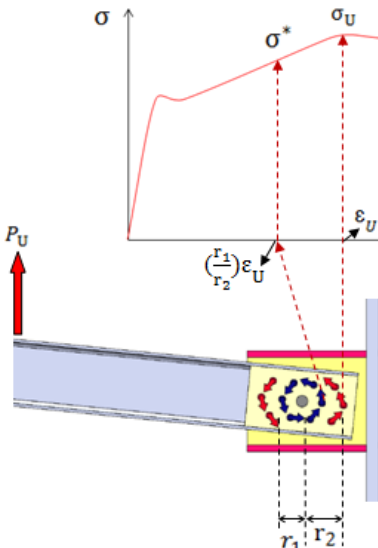
شکل ۲۱- اتصال واشر و صفحه (S1) به تیر

در ادامه براساس شکل ۶ پس از اتصال صفحات (S2) و (S3) جعبه اتصال تولید می‌گردد، مهره‌ها به روی سوراخ‌های صفحات (S3) جوش شده و پس از قرار گیری تیر در داخل جعبه اتصال و نصب شفت و جوشکاری ابتدای آن، هر میراگر از سمت بیرون جعبه اتصال وارد مهره شده و پس از عبور از صفحات (S1) و (S3) توسط آچار محکم می‌شود (شکل ۲۲). شکل (۲۳) تصویر نزدیکتری از عبور میراگر از داخل مهره و محکم کردن آن توسط آچار را نشان می‌دهد. در شکل (۲۴) مقطع عرضی گره اتصال مشاهده می‌شود. سپس مطابق شکل (۲۵) نمونه به ستون متصل گردید.

نشریه علمی و پژوهشی سازه و فولاد

میراگرهای واقع در فواصل مختلف قرارگیری نسبت به محور دوران، ابتدا میراگرهایی که در فاصله (r_2) از شفت قرار دارند پلاستیک می‌شوند و به حد نهایی می‌رسند، با توجه به شکل (۱۹) و فرض صلب بودن صفحات S3 و S1 براساس تخمین کرنش میراگرهای واقع در فاصله (r_1) از شفت، تنش آنها (σ^*) از روی نمودار تنش-کرنش فولاد قرائت و نیروی نهایی این اتصال (P_u) از رابطه (۹) برآورد می‌شود:

$$P_u = \frac{4D^3}{H'l_c} [f_u \cdot r_2 + \sigma^* \cdot r_1] \quad (9)$$



شکل ۱۹- تخمین کرنش و تنش میراگرهای در فاصله r_1 از شفت

در نمونه (CPYD2) به جهت وجود ۱۲ عدد میراگر به فاصله r_1 فرض بر این است که تمام میراگرهای همزمان پلاستیک می‌شوند، لذا نیروی نهایی اتصال (P_u) از رابطه (۱۰) حاصل می‌شود:

$$P_u = \frac{3.8 f_u D^3}{H'l_c} \cdot r_1 \quad (10)$$

به جهت سهولت بازکردن و تعویض میراگرهای در موقع لازم ورقهای تکیه‌گاهی میراگر (صفحات (S1) و (S3)) می‌بایست دارای ضخامت کافی باشند به طوری که تا بار نهایی، هیچ گونه تغییر شکل پلاستیک در سوراخ‌های قرار گیری میراگرهای رخ ندهد.

۴- نمونه‌های آزمایشگاهی

برای ارزیابی عملکرد لرزه‌ای اتصالات پیشنهادی، سه نمونه آزمایشگاهی طراحی و ساخته شدند. در هر سه نمونه، تیرها از



به جهت سهولت در بررسی و رویت هرگونه لغوش بین میراگر و مهره جوش شده، این ناحیه قبل از بارگذاری به صورت موضعی رنگ آمیزی شد (شکل ۲۶).



شکل ۲۶- رنگ آمیزی مهره و ابتدای ناحیه رزوه شده میراگر

خواص مکانیکی فولاد تیر و میراگر و قطعات متسلکله تیرورق ستون بر اساس آزمایش کشش طبق استاندارد ASTM استخراج و در جدول (۱) نمایش داده شده است.

جدول ۱- محاسبه ضریب بازتاب مدل‌ها

کرنش نهایی (%)	σ_u (MPa)	σ_y (MPa)	نمونه
۰/۲۶	۴۶۲	۳۴۴	جان تیر
۰/۲۵۱	۴۲۴	۲۹۴	بال تیر
۰/۲۳۵	۵۰۶	۳۱۲	ستون
۰/۲۷۸	۴۷۰	۳۰۳	میراگر
۰/۲۸	۵۲۸	۳۷۳	ورق‌های S2 و S3

تعريف هندسه کلی مدل‌ها بر اساس شکل (۱) می‌باشد، در تمام نمونه‌های آزمایشگاهی فاصله محل بارگذاری تا مرکز شفت (l_c) $1/1$ m و فاصله مرکز شفت تا سطح ستون (l_3) $0/172$ m و مقدار l_1 $0/33$ m، طول ناحیه رزوه شده میراگر $0/035$ m، قطر میله میراگر (D_S) برابر $0/019$ m، ضخامت صفحات (S1)، (S2) و (S3) $0/02$ m، و سایز مهره اتصال میراگر، M24 در نظر گرفته شد. سایر مشخصات و جزئیات هندسی نمونه‌ها در جدول (۲) نمایش داده شده است.

۵- پیکربندی و بارگذاری آزمایش

پس از استقرار و نصب هر یک از نمونه‌ها در محل آزمایش، به منظور اندازه‌گیری تغییر مکان در سه نقطه از مجموعه تیر و ستون، در محل‌های تعیین شده روی نمونه، LVDT نصب گردید.



شکل ۲۲- بستن میراگر در گره اتصال نمونه آزمایشگاهی (CPYD1)



شکل ۲۳- محکم کردن میراگر در مهره توسط آچار

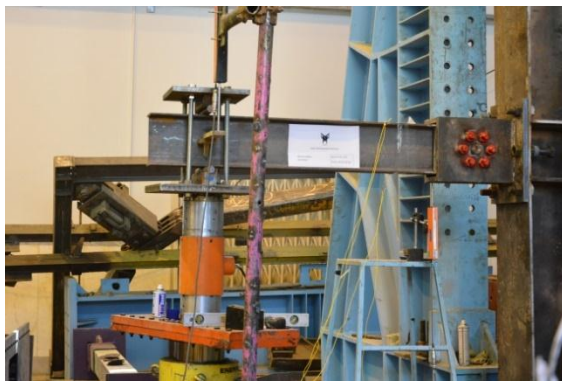


شکل ۲۴- مقطع عرضی اتصال

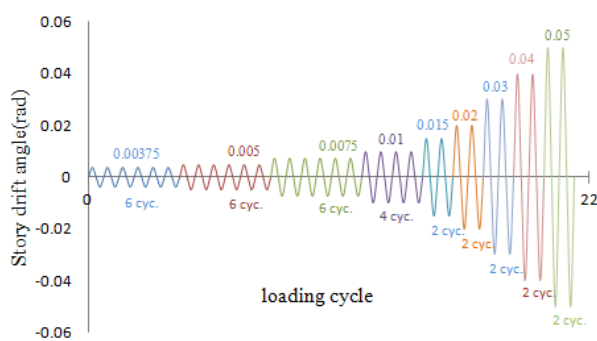


شکل ۲۵- اتصال نمونه آزمایشگاهی (CPYD1) به ستون





شکل ۲۹- نمایی از مدل آزمایشگاهی (CPYD1-A)



شکل ۳۰- نمودار بارگذاری اعمال شده [۱۸]

۶- نتایج انجام آزمایش

در شکل (۳۱)، (۳۲) و (۳۳) به ترتیب منحنی لنگر دوران نمونه‌های (CPYD1-A)، (CPYD1-B) و (CPYD2) مستخرج از نتایج آزمایشات انجام شده، نمایش داده شده است. با دقت در نمودارهای مذکور مقداری همپوشانی در مسیرهای رفت و برگشتی وجود دارد که علت اصلی این رفتار وجود لقی بین میراگرها و سوراخ‌های متناظر در صفحات تکیه‌گاهی (S1) و همچنین لقی بین شفت و سوراخ محل قرارگیری آن می‌باشد، این رفتار در اکثر اتصالات پیچی مشاهده می‌شود ولیکن وضعیت کلی نمودارها بیانگر رفتار چرخه‌ای پایدار برای تمامی نمونه‌های مورد بررسی می‌باشد.

در هیچ کدام از نمونه‌ها هیچگونه لغزش و حرکتی در ناچیه رزوه شده و همچنین شکست و ترک خوردنگی در جوش‌های بکار برده شده مشاهده نشد، پس از توقف آزمایش نسبت به باز کردن میراگرها از روی نمونه‌ها اقدام شد. شکل (۳۴) دو نمونه از مراگرهای باز شده را نشان مردهد.

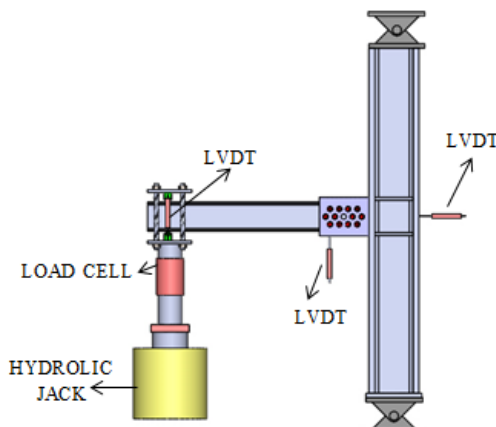
-۷ مدل‌های احیاء محدود

در این بخش رفتار چرخه‌ای مدل‌های آزمایشگاهی توسط نرم افزار Abaqus شبیه‌سازی شد. برای ساخت ستون و تیر

جدول ۲ - جزئیات هندسی نمونه‌های آزمایشگاهی

هندسه میراگر		r_2 (m)	r_1 (m)	نمونه آزمایشگاهی
H_T (m)	D (m)			
۰/۰۱۴	۰/۰۱۲۸	۰/۱۲	۰/۰۶	CPYD1-A
۰/۰۱۴	۰/۰۱۱۸	۰/۱۲	۰/۰۶	CPYD1-B
۰/۰۱۴	۰/۰۱۲۶	---	۰/۰۶	CPYD2

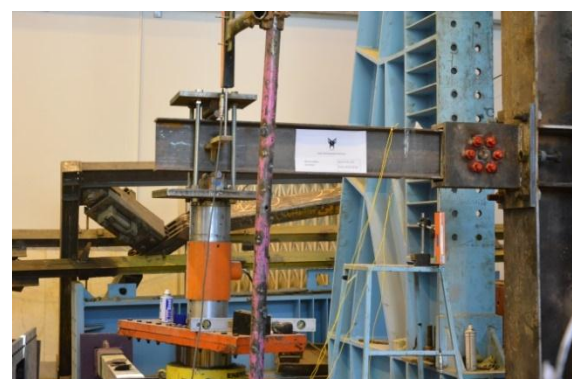
شکل (۲۷) تصویری از طرح کلی پیکربندی آزمایش برای تمام نمونه‌های آزمایش شده به همراه تجهیزات انجام آزمایش را نشان می‌دهد.



شکل ۲۷- پیکربندی انجام آزمایش

شکل (۲۸) و (۲۹) به ترتیب نمایی از مدل‌های آزمایشگاهی (CPYD1-A) و (CPYD2) را نشان می‌دهند.

بارگذاری چرخه‌ای توسط جک هیدرولیکی به صورت تغییر مکان در ابتدای تیر، اعمال و مقدار بار حین بارگذاری توسط سلول بار اندازه‌گیری شد. این بارگذاری براساس پروتکل پیشنهادی AISC341-05 نشان داده شده در شکل (۳۰)، تا پایان سیکل متناظر با دوران ۵۰٪ بر روی نمونه‌ها انجام شد.



شکل ۲۸- نمایی از مدل آزمایشگاهی (CPYD2)



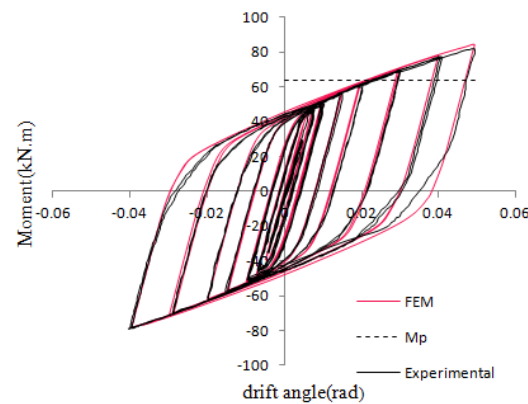
شکل ۳۴- دو نمونه میراگرهاي بازگشائي شده پس از تمام آزمایش

بارگذاري به صورت يك الگوي چرخه اي شبه استاتيکي به شكل اعمال تغيير مکان هاي چرخه اي مطابق الگوي بارگذاري آزمایشگاهي به ابتداي تير اعمال شد.

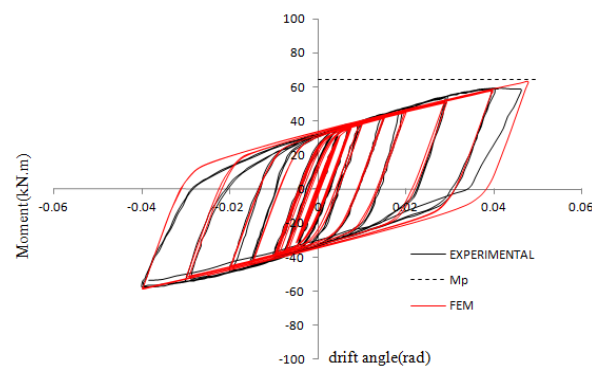
در شکل (۳۱)، (۳۲) و (۳۳) منحنی لنگر دوران نمونه هاي (CPYD1-B)، (CPYD1-A) و (CPYD2) حاصل از داده هاي تحليل عددی و آزمایشگاهي با هم مقایسه شده اند. نتایج تحليل اجزاء محدود در تمام نمونه ها، انطباق خوبی با نتایج حاصل از آزمایش دارد و می توان رفتار چرخه اي اتصالات پیشنهادی را با دقت قابل قبولی توسط مدل سازی عددی شرح داده شده ارزیابی کرد.

يکی از پارامترهایی که در بررسی رفتار چرخه ای اتصالات مورد بررسی قرار می گیرد، کرنش معادل پلاستیک (PEEQ) می باشد. کرنش پلاستیک معادل، نشان دهنده میزان کرنش های ماندگار در مصالح و به عبارت دیگر نشان دهنده نواحی جذب انرژی می باشد. لذا کانتور (PEEQ) در انتهای سیکل بارگذاري برای نمونه های مورد بررسی در شکل (۳۵)، (۳۶) و (۳۷) نشان داده شده است که موید تمرکز تغییر شکل های غیر انتراجی در میراگرها می باشد.

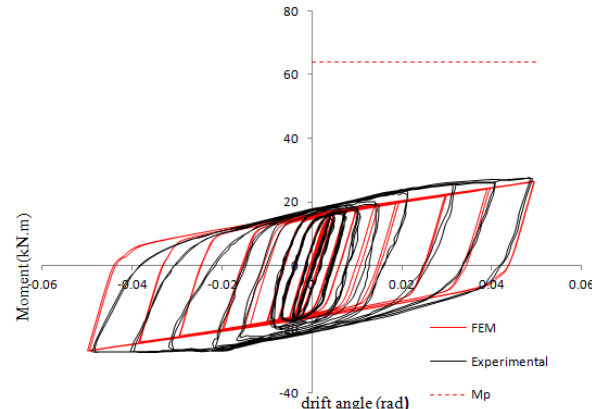
به منظور مقایسه عملکرد لرزه های اتصالات پیشنهادی با يك اتصال مينا، يك مدل اتصال تير به ستون با مقطع کاوش يافته (RBS) با مشخصات تير و ستون مشابه با نمونه هاي آزمایشگاهي، به روش اجزاء محدود مدل سازی و تحت بارگذاري مشابه تحليل شد. در شکل (۳۸)، (۳۹) و (۴۰) منحنی لنگر دوران اتصال (RBS)، با منحنی متناظر برای نمونه هاي (CPYD1-B)، (CPYD1-A) و (CPYD2) مستخرج از داده هاي آزمایشگاهي مقایسه شده اند.



شکل ۳۱- نمودار لنگر دوران نمونه عددی و آزمایشگاهي (CPYD1-A)



شکل ۳۲- نمودار لنگر دوران نمونه عددی و آزمایشگاهي (CPYD1-B)



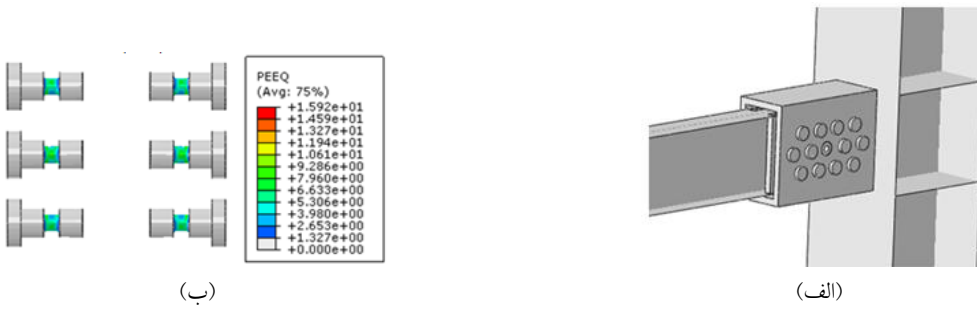
شکل ۳۳- نمودار لنگر دوران نمونه عددی و آزمایشگاهي (CPYD2)

در مدل های اجزاء محدود از المان نوع shell و جهت مدل سازی اجزاء اصلی اتصال مانند میراگرها، شفت، واشر و صفحات (S1)، (S2) و (S3) از المان C3D8R استفاده شده است. جهت مدل سازی اتصال قطعات توسط جوش و همچنین در محل اتصال رزوه میراگر به مهره، بین آنها قيد tie اعمال شد. برای شبیه سازی تماس بین واشر با صفحات (S3)، بدنه میراگر و شفت با دیواره سوراخ های محل قرار گیری آنها از قيد surface to surface contact به صورت

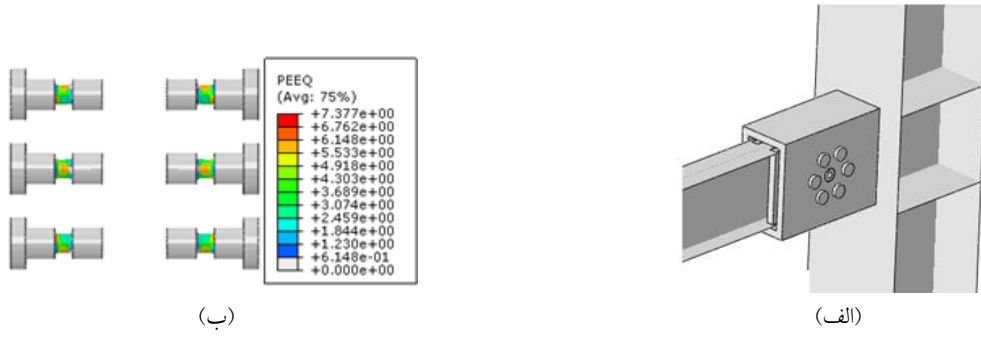




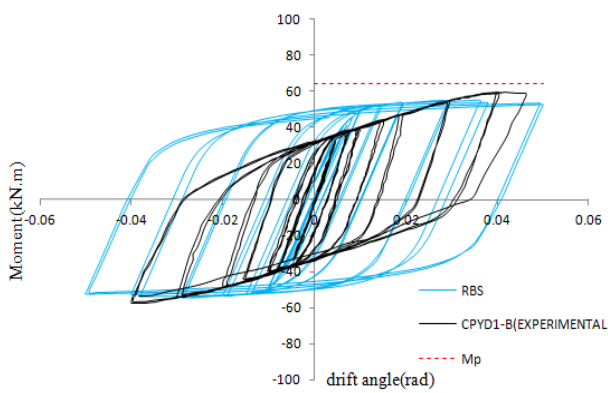
شکل ۳۵- (الف) کانتور PEEQ در اتصال (CPYD1-A) (ب) کانتور PEEQ در میراگرها



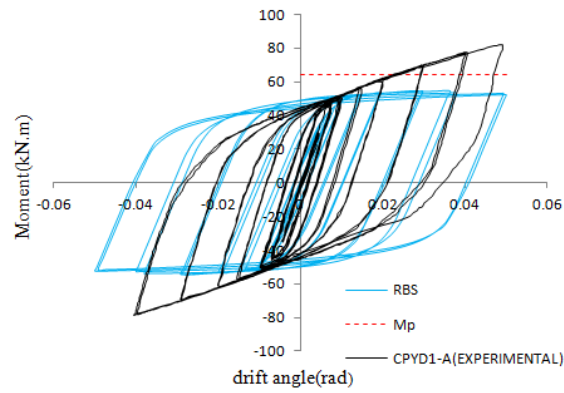
شکل ۳۶- (الف) کانتور PEEQ در اتصال (CPYD1-B) (ب) کانتور PEEQ در میراگرها



شکل ۳۷- (الف) کانتور PEEQ در اتصال (CPYD2) (ب) کانتور PEEQ در میراگرها



شکل ۳۹- مقایسه نمودار لنگر-دوران نمونه (CPYD1-B) و RBS



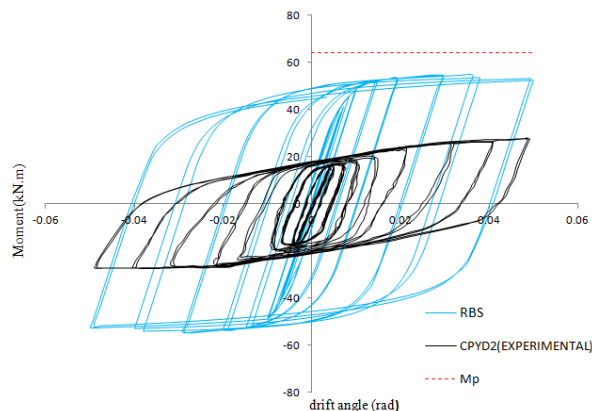
شکل ۳۸- مقایسه نمودار لنگر-دوران نمونه (CPYD1-A) و RBS

لرزه‌ای، نمونه‌ها تحت بارگذاری چرخه‌ای مورد آزمایش قرار گرفتند.

نتیجه بررسی نشان داد طرح ارایه شده در این تحقیق، برای الگوی قرارگیری میراگر میله تسلیمی در اتصال تیر به ستون، در صورت طراحی مناسب می‌تواند تحت بارگذاری چرخه‌ای خواسته‌های اتصال را از نظر تحمل لنگر و دوران وارد ب طبق آئین‌نامه‌ها برآورده سازد، به طوری که اتصالات (CPYD1-A) و (CPYD1-B) به ترتیب، لنگری معادل ۱/۲۷ و ۰/۹۱ برابر لنگر پلاستیک تیر (M_p) را در دوران ۴ درصد تحمل کردند. از مزیت‌های دیگر این اتصال می‌توان به تمرکز تغییرشکل‌های غیرارتجاعی ناشی از بارگذاری چرخه‌ای در میراگرها، در تمام نمونه‌های مورد بررسی اشاره کرد، به طوریکه سایر نواحی سازه تا انتهای بارگذاری در حالت الاستیک باقی مانده‌اند، که این مسئله علاوه بر تائید صحت طراحی سیستم حاکی از کارآمدی میراگرها در جذب تغییرشکل‌های غیرارتجاعی و جلوگیری از تشکیل مفصل پلاستیک در تیر می‌باشد.

۹- مراجع

- [1] Engelhardt, M.D. and Husain, A.S. (1993), "Cyclic-Loading Performance of Welded Flange-Bolted Web Connections", Journal of Structural Engineering, Vol. 119, pp. 3537–3550.
- [2] Hassanipour, A., Rahnavaresh, R., Mokhtari, A. and Rahnavaresh, N. (2015), "Numerical Investigation on Reduced Beam Web Section Moment Connections under the Effect of Cyclic Loading", Journal of Multidisciplinary Engineering Science and Technology, Vol. 119, pp. 2054–2061.
- [3] Maleki, S. and Tabbakhha, M., (2016), "Numerical study of Slotted-Web-Reduced-Flange Moment Connection", Journal of Constructional Steel Research, Vol. 69, pp. 1–7.
- [4] Rahnavaresh, R., Hassanipour, A. and Siahpolo, N. (2015), "Analytical Study on New Types of Reduced Beam Section Moment Connections Affecting Cyclic Behavior", Case Studies in Structural Engineering, Vol. 3, pp. 33–51.
- [5] Fanaie, N., Kazerani, S. and Soroushnia, S. (2015), "Numerical Study of Slotted Web Drilled Flange Moment Frame Connection", Numerical Methods in Civil Engineering, Vol. 1, pp. 16–23.
- [6] Mirghaderi, S.R., Torabian, S. and Imanpour, A. (2010), "Seismic Performance of the Accordion-Web RBS Connection", Journal of Constructional Steel Research, Vol. 66, pp. 277–288.
- [7] Saleh, A., Mirghaderi, S. and Zahrai, S. (2016), "Cyclic Testing of Tubular Web RBS Connections in Deep Beams", Journal of Constructional Steel Research, Vol. 117, pp. 214–226.
- [8] Morrison, M., Schweizer, D. and Hassan, T. (2015), "An Innovative Seismic Performance Enhancement Technique for Steel Building Moment Resisting Connections", Journal of Constructional Steel Research, Vol. 109, pp. 34–46.
- [9] Tanaka, N. (2003), "Evaluation of Maximum Strength and Optimum Haunch Length of Steel Beam-End with Horizontal Haunch", Journal of Engineering Structures, Vol. 25, pp. 229–239.
- [10] Chih Chen, C., Ming Lee, J. and Chih Lin, M. (2003),



شکل ۴۰- مقایسه نمودار لنگر-دوران نمونه (CPYD2) و RBS

با مقایسه نتایج، در نمونه (CPYD1-A) و (CPYD1-B) مقدار لنگر خمسمی اتصال در دوران ۴ درصد به ترتیب، معادل ۱/۱۷ و ۰/۹ برابر لنگر پلاستیک تیر (M_p) می‌باشد که این مقادیر بزرگ‌تر از حداقل مقاومت خمسمی قابل قبول (۰/۸ M_p) برای اتصالات خمسمی و پیش براساس آئین‌نامه AISC می‌باشد.

در جدول (۳) حداکثر لنگر اتصالات مورد بررسی، نتایج به دست آمده از روابط تحلیلی ذکر شده در این مقاله و داده‌های آزمایشگاهی و اجزاء محدود نمایش داده شده است.

در جدول (۴) مقادیر انرژی تلف شده برای نمونه‌های مورد بررسی نشان داده شده است.

جدول ۳- مقایسه نتایج تحلیلی، آزمایشگاهی و اجزاء محدود

حداکثر لنگر آزمایشگاهی (KN.m)	حداکثر لنگر اجزا محدود (KN.m)	حداکثر لنگر توری (KN.m)	نمونه
۸۱/۹	۸۴/۲	۷۶/۶	CPYD1-A
۵۹/۱	۵۴/۹	۶۰/۱	CPYD1-B
۲۶/۳	۲۶/۵	۲۴	CPYD2

جدول ۴- مقادیر انرژی تلف شده برای نمونه‌ها

انرژی مستهلك شده (J)	نمونه
۲۷۵۶۲	CPYD1-A
۲۴۱۸۸	CPYD1-B
۱۲۱۹۲	CPYD2

۸- نتیجه گیری

در این پژوهش نوع جدیدی از اتصال تیر به ستون فولادی با میراگرهای تسلیمی معرفی شده است و به منظور بررسی رفتار

۹- نشریه علمی و پژوهشی سازه و فولاد



- [15] Köken, A., Körögülu, A. (2015), "Experimental Study on Beam-to-Column Connections of Steel Frame Structures with Steel Slit Dampers", Journal of Performance of Constructed Facilities, Vol. 29, pp. 1–11.
- [16] Banisheikhholeslami, A., Behnamfar, F. and Ghandil, M. (2016), "A Beam-to-Column Connection with Visco-Elastic and Hysteretic Dampers for Seismic Damage Control", Journal of Constructional Steel Research, Vol. 117, pp. 185–195.
- [17] Vasdravellis, G., Karavasilis, T. and Uy, B. (2013), "Finite Element Models and Cyclic Behavior of Self-Centering Steel Post-Tensioned Connections with Web Hourglass Pins", Engineering Structures, Vol. 52, pp. 1–16.
- [18] AISC 341-05, (2005), Seismic Provisions for Structural, Steel Buildings, American Institute of Steel Construction.
- [19] "Behaviour of Steel Moment Connections with a Single Flange Rib", Engineering Structures, Vol. 25, pp. 1419–1428.
- [20] Che Chou, C., Wei Lo, S. and Show Liou, G. (2013), "Internal Flange Stiffened Moment Connections with Low-Damage Capability under Seismic Loading", Journal of Constructional Steel Research, Vol. 87, pp. 38–47.
- [21] Stoakes, C. and Fahnestock, L. (2012), "Cyclic Flexural Analysis and Behavior of Beam-Column Connections with Gusset Plates", Journal of Constructional Steel Research, Vol. 72, pp. 227–239.
- [22] Oh, S.-H., Kim, Y.-J. and Ryu, H.-S (2009), "Seismic Performance of Steel Structures with Slit Dampers", Engineering Structures, Vol. 31, pp. 1997–2008.
- [23] Saffari, H., Hedayat, A. and Nejad, M.P. (2013), "Post-Northridge Connections with Slit Dampers to Enhance Strength and Ductility", Journal of Constructional Steel Research, Vol. 80, PP. 138–152.

پی نوشت

¹ Reduced Beam Section (RBS)